

---

UNIVERSIDADE FEDERAL DO RIO DE JANEIRO  
INSTITUTO DE FÍSICA

**Segunda lista complementar de Eletromagnetismo 1**

**Maio de 2025**

Prof. João Torres de Mello Neto

Monitor: Pedro Khan

---

# Eletromagnetismo I

André V. Silva

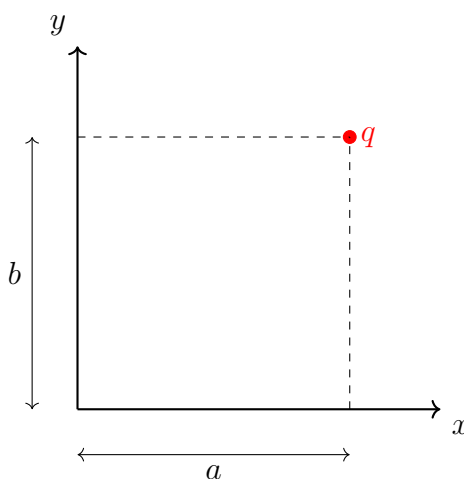
Monday 12<sup>th</sup> May, 2025

---

## Problema 1

Dois planos condutores aterrados ao longo dos eixos  $x$  e  $y$  se interceptam na origem, conforme mostrado na figura. Uma carga  $q$  é colocada a uma distância  $b$  acima do eixo  $x$  e a uma distância  $a$  à direita do eixo  $y$ . Determine a força sobre a carga.

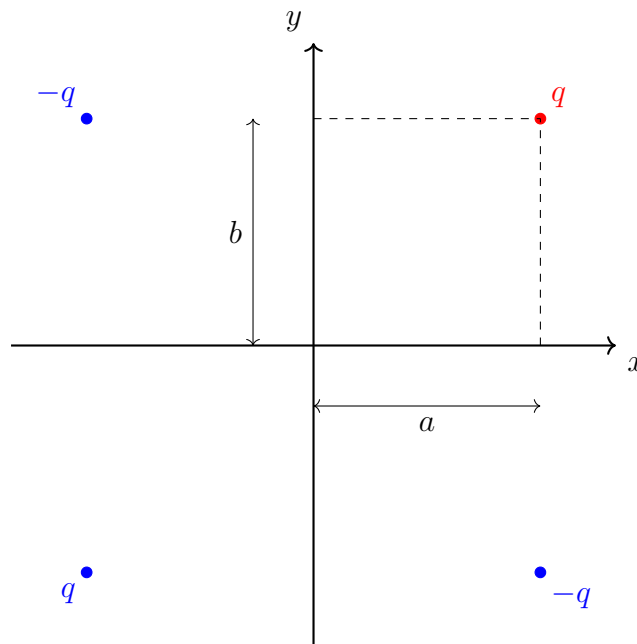
**Sugestão:** as cargas imagens devem fazer com que as condições de contorno sejam mantidas nos dois planos simultaneamente.



### Solução:

Como os planos condutores estão aterrados, o potencial ao longo dos eixos  $x = 0$  e  $y = 0$  deve ser nulo. Para satisfazer essa condição, usaremos o **método das cargas imagem**. A carga real  $q$  está localizada no ponto  $(a, b)$ , com  $a > 0$  e  $b > 0$ , no primeiro quadrante. Para que o potencial seja nulo nos eixos coordenados, inserimos três cargas imagem:

- Uma carga imagem  $-q$  em  $(-a, b)$ , que anula o potencial no plano  $x = 0$ ,
- Uma carga imagem  $-q$  em  $(a, -b)$ , que anula o potencial no plano  $y = 0$ ,
- Uma carga imagem  $+q$  em  $(-a, -b)$ , que garante simultaneamente que o potencial seja zero nos dois planos.



### Cálculo da força

A força total sobre a carga real  $q$  é a soma das forças de Coulomb exercidas pelas cargas imagem.

**Força devido a  $-q$  em  $(-a, b)$ :**

$$\vec{F}_1 = \frac{1}{4\pi\epsilon_0} \cdot \frac{q(-q)}{(2a)^2} \hat{i} = -\frac{q^2}{16\pi\epsilon_0 a^2} \hat{i} \quad (1)$$

**Força devido a  $-q$  em  $(a, -b)$ :**

$$\vec{F}_2 = \frac{1}{4\pi\epsilon_0} \cdot \frac{q(-q)}{(2b)^2} \hat{j} = -\frac{q^2}{16\pi\epsilon_0 b^2} \hat{j} \quad (2)$$

**Força devido a  $+q$  em  $(-a, -b)$ :**

A distância até a carga real é  $2\sqrt{a^2 + b^2}$ . O vetor deslocamento é  $(2a, 2b)$ , portanto:

$$\vec{F}_3 = \frac{1}{4\pi\epsilon_0} \cdot \frac{q^2}{(2\sqrt{a^2 + b^2})^2} \cdot \frac{(2a, 2b)}{2\sqrt{a^2 + b^2}} = \frac{q^2}{16\pi\epsilon_0(a^2 + b^2)^{3/2}}(a\hat{i} + b\hat{j}) \quad (3)$$

### Resultado final

Somando os três termos:

$$\vec{F} = \vec{F}_1 + \vec{F}_2 + \vec{F}_3 \quad (4)$$

$$\boxed{\vec{F} = \frac{q^2}{16\pi\epsilon_0} \left[ \left( -\frac{1}{a^2} + \frac{a}{(a^2 + b^2)^{3/2}} \right) \hat{i} + \left( -\frac{1}{b^2} + \frac{b}{(a^2 + b^2)^{3/2}} \right) \hat{j} \right]} \quad (5)$$

## Problema 2

Uma distribuição de carga elétrica produz o campo elétrico

$$\mathbf{E} = c \left( 1 - e^{-\alpha r} \right) \frac{\hat{\mathbf{r}}}{r^2} \quad (6)$$

onde  $c$  e  $\alpha$  são constantes. Encontre a carga total dentro do raio  $r = \frac{1}{\alpha}$ .

### Solução:

Utilizaremos o **teorema de Gauss**, que relaciona o fluxo do campo elétrico com a carga total no interior de uma superfície fechada:

$$\oint_{\text{superfície}} \mathbf{E} \cdot d\mathbf{A} = \frac{Q_{\text{int}}}{\epsilon_0} \quad (7)$$

Como o campo é radial e depende apenas de  $r$ , escolhemos uma superfície gaussiana esférica de raio  $r = \frac{1}{\alpha}$ . O campo elétrico sobre essa superfície tem módulo:

$$|\mathbf{E}(r)| = c \left( 1 - e^{-\alpha r} \right) \frac{1}{r^2} \quad (8)$$

O vetor de área é  $d\mathbf{A} = \hat{\mathbf{r}} r^2 \sin \theta d\theta d\phi$ , portanto:

$$\Phi_E = \oint \mathbf{E} \cdot d\mathbf{A} = |\mathbf{E}(r)| \cdot 4\pi r^2 \quad (9)$$

Substituindo:

$$\Phi_E = c \left(1 - e^{-\alpha r}\right) \cdot \frac{1}{r^2} \cdot 4\pi r^2 \quad (10)$$

$$= 4\pi c \left(1 - e^{-\alpha r}\right) \quad (11)$$

Aplicando o teorema de Gauss:

$$Q_{\text{int}} = \varepsilon_0 \Phi_E = 4\pi \varepsilon_0 c \left(1 - e^{-\alpha r}\right) \quad (12)$$

Finalmente, substituímos  $r = \frac{1}{\alpha}$ :

$$Q = 4\pi \varepsilon_0 c \left(1 - e^{-1}\right) \quad (13)$$

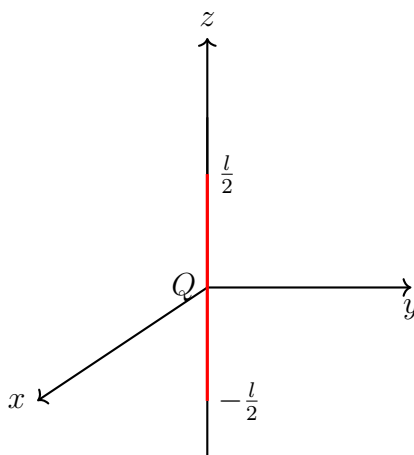
**Resposta final**

$$Q = 4\pi \varepsilon_0 c \left(1 - \frac{1}{e}\right)$$

(14)

### Problema 3

Uma haste fina e não condutora de comprimento  $l$  carrega uma carga  $Q$  uniformemente distribuída e está orientada conforme mostrado na figura:



- (a) Determine o potencial  $V$  devido à haste carregada para qualquer ponto sobre o eixo  $z$ , com  $z > l/2$ .
- (b) Encontre  $V(r, \theta, \varphi)$  para todos os pontos com  $|\mathbf{r}| > l/2$ , onde  $r, \theta, \varphi$  são as coordenadas esféricas usuais.

**Sugestão para a parte b:** A solução geral da equação de Laplace em coordenadas esféricas com simetria azimutal é dada por

$$V(r, \theta) = \sum_{l=0}^{\infty} \left( A_l r^l + \frac{B_l}{r^{l+1}} \right) P_l(\cos \theta), \quad \text{Griffiths, 3.65,} \quad (15)$$

Os coeficientes são determinados a partir das condições de contorno de cada problema.

**Solução:**

**(a) Potencial sobre o eixo  $z$  com  $z > \frac{l}{2}$**

A densidade linear de carga da haste é

$$\lambda = \frac{Q}{l} \quad (16)$$

O potencial eletrostático gerado por uma linha de carga no ponto  $z$  (com  $z > l/2$ ) é dado por:

$$V(z) = \frac{1}{4\pi\epsilon_0} \int_{-l/2}^{l/2} \frac{\lambda dz'}{|z - z'|} \quad (17)$$

Como  $z > z'$  em todo o intervalo, podemos retirar o módulo:

$$V(z) = \frac{\lambda}{4\pi\epsilon_0} \int_{-l/2}^{l/2} \frac{dz'}{z - z'} = \frac{\lambda}{4\pi\epsilon_0} [\ln(z - z')]_{z'=-l/2}^{z'=l/2} \quad (18)$$

$$V(z) = \frac{\lambda}{4\pi\epsilon_0} \ln \left( \frac{z + l/2}{z - l/2} \right) \quad (19)$$

**Resposta da parte (a):**

$$\boxed{V(z) = \frac{\lambda}{4\pi\epsilon_0} \ln \left( \frac{z + l/2}{z - l/2} \right)} \quad \text{para } z > \frac{l}{2} \quad (20)$$

**(b) Potencial em coordenadas esféricas para  $r > \frac{l}{2}$**

A solução geral da equação de Laplace com simetria azimutal é:

$$\boxed{V(r, \theta) = \sum_{l=0}^{\infty} \left( A_l r^l + \frac{B_l}{r^{l+1}} \right) P_l(\cos \theta)} \quad (21)$$

Como estamos fora da distribuição de cargas, não há termo crescente ( $A_l = 0$ ), então:

$$V(r, \theta) = \sum_{l=0}^{\infty} \frac{B_l}{r^{l+1}} P_l(\cos \theta) \quad (22)$$

Os coeficientes  $B_l$  são dados por:

$$B_l = \frac{1}{\varepsilon_0(2l+1)} \int \rho(\vec{r}') (r')^l P_l(\cos \theta') d\tau' \quad (23)$$

Como a carga está ao longo do eixo  $z$ , temos:

$$\rho(\vec{r}') = \lambda \delta(x') \delta(y') \Rightarrow dq = \lambda dz' \quad \text{e} \quad \cos \theta' = \frac{z'}{|z'|} \quad (24)$$

Então:

$$B_l = \frac{\lambda}{\varepsilon_0(2l+1)} \int_{-l/2}^{l/2} z'^l dz' \quad \checkmark \quad (25)$$

**Paridade:**

- Para  $l$  ímpar: integral de função ímpar  $\Rightarrow 0$
- Para  $l$  par: integral de função par  $\Rightarrow 2 \int_0^{l/2} z'^l dz'$

**Termo monopolar ( $l = 0$ ):**

$$B_0 = \frac{\lambda}{\varepsilon_0} \int_{-l/2}^{l/2} dz' = \frac{\lambda l}{\varepsilon_0} = \frac{Q}{\varepsilon_0} \quad (26)$$

$$V_0(r) = \frac{1}{4\pi\varepsilon_0} \cdot \frac{Q}{r} \quad (27)$$

**Termo quadrupolar ( $l = 2$ ):**

$$B_2 = \frac{\lambda}{5\varepsilon_0} \int_{-l/2}^{l/2} z'^2 dz' = \frac{\lambda}{5\varepsilon_0} \cdot \frac{l^3}{12} = \frac{\lambda l^3}{60\varepsilon_0} \quad (28)$$

$$V_2(r, \theta) = \frac{1}{4\pi\varepsilon_0} \cdot \frac{\lambda l^3}{60r^3} \cdot \left( \frac{3 \cos^2 \theta - 1}{2} \right) \quad (29)$$

Resposta da parte (b):

$$V(r, \theta) \approx \frac{1}{4\pi\epsilon_0} \left[ \frac{Q}{r} + \frac{\lambda l^3}{60r^3} \left( \frac{3\cos^2\theta - 1}{2} \right) + \dots \right] \quad \text{para } r > \frac{l}{2} \quad (30)$$

## Problema 4

Considere uma esfera de raio  $a$  contendo uma densidade de carga uniforme  $\rho$  no seu interior, e sem carga no exterior. Deseja-se determinar o potencial eletrostático  $V(r)$  e o campo elétrico  $\mathbf{E}(r)$  em todo o espaço, assumindo que  $V \rightarrow 0$  quando  $r \rightarrow \infty$ .

Determine o campo elétrico dentro e fora da esfera. Resolva a equação de Poisson para dentro e fora da esfera.

**Obs:** esse problema foi resolvido muitas vezes desde Física 3 por meio da lei de Gauss na formulação integral.

**Solução:**

### 1. Campo Elétrico via Lei de Gauss

Pela simetria esférica, o campo elétrico é radial, ou seja,  $\mathbf{E}(r) = E(r) \hat{r}$ . Utilizamos a Lei de Gauss:

$$\oint \mathbf{E} \cdot d\mathbf{A} = \frac{Q_{\text{int}}}{\epsilon_0} \quad (31)$$

**Para  $r < a$  (interior da esfera):**

$$Q_{\text{int}} = \rho \cdot \frac{4}{3}\pi r^3 \Rightarrow E(r) \cdot 4\pi r^2 = \frac{\rho \cdot \frac{4}{3}\pi r^3}{\epsilon_0} \Rightarrow E(r) = \frac{\rho r}{3\epsilon_0} \quad (32)$$

**Para  $r > a$  (exterior da esfera):**

$$Q = \rho \cdot \frac{4}{3}\pi a^3 \Rightarrow E(r) \cdot 4\pi r^2 = \frac{Q}{\epsilon_0} \Rightarrow E(r) = \frac{1}{4\pi\epsilon_0} \cdot \frac{Q}{r^2} = \frac{\rho a^3}{3\epsilon_0 r^2} \quad (33)$$



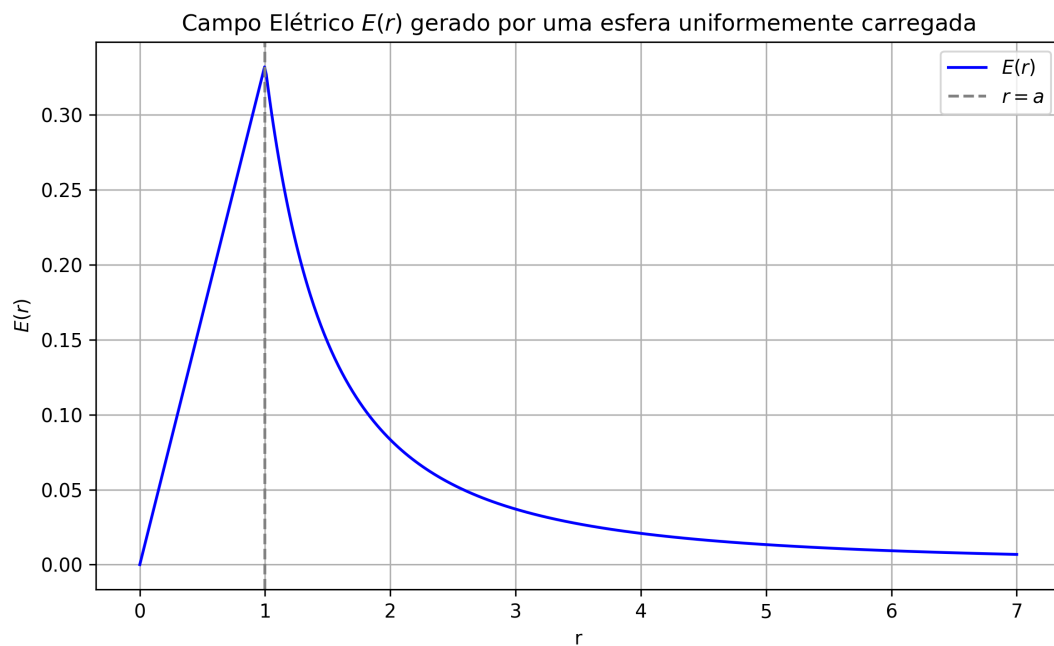


Figure 1: Campo elétrico dentro e fora da esfera.

## 2. Potencial Elétrico via Equação de Poisson

A equação de Poisson para simetria esférica é:

$$\frac{1}{r^2} \frac{d}{dr} \left( r^2 \frac{dV}{dr} \right) = -\frac{\rho(r)}{\varepsilon_0} \quad (34)$$

Para  $r < a$  (com  $\rho = \text{constante}$ )

$$\frac{1}{r^2} \frac{d}{dr} \left( r^2 \frac{dV}{dr} \right) = -\frac{\rho}{\varepsilon_0} \Rightarrow \frac{d}{dr} \left( r^2 \frac{dV}{dr} \right) = -\frac{\rho r^2}{\varepsilon_0} \quad (35)$$

Integrando:

$$r^2 \frac{dV}{dr} = -\frac{\rho}{\varepsilon_0} \cdot \frac{r^3}{3} + C_1 \Rightarrow \frac{dV}{dr} = -\frac{\rho r}{3\varepsilon_0} + \frac{C_1}{r^2} \quad (36)$$

Impondo regularidade em  $r = 0$ , temos  $C_1 = 0$ . Integrando novamente:

$$V(r) = -\frac{\rho}{6\varepsilon_0} r^2 + C_2 \quad (37)$$

Para  $r > a$  (região sem carga)

$$\frac{1}{r^2} \frac{d}{dr} \left( r^2 \frac{dV}{dr} \right) = 0 \Rightarrow \frac{d}{dr} \left( r^2 \frac{dV}{dr} \right) = 0 \Rightarrow r^2 \frac{dV}{dr} = C_3 \Rightarrow \frac{dV}{dr} = \frac{C_3}{r^2} \Rightarrow V(r) = -\frac{C_3}{r} + C_4 \quad (38)$$

### 3. Condições de Contorno

- Continuidade do potencial em  $r = a$ :

$$V_{\text{int}}(a) = V_{\text{ext}}(a) \quad (39)$$

- Continuidade da derivada do potencial (campo elétrico) em  $r = a$ :

$$\left. \frac{dV}{dr} \right|_{r=a^-} = \left. \frac{dV}{dr} \right|_{r=a^+} \quad (40)$$

- Condição no infinito:  $V(r) \rightarrow 0 \Rightarrow C_4 = 0$

Derivadas:

$$\left. \frac{dV}{dr} \right|_{r=a^-} = -\frac{\rho a}{3\varepsilon_0}, \quad \left. \frac{dV}{dr} \right|_{r=a^+} = \frac{C_3}{a^2} \Rightarrow C_3 = -\frac{\rho a^3}{3\varepsilon_0} \quad (41)$$

Potencial contínuo em  $r = a$ :

$$-\frac{\rho}{6\varepsilon_0} a^2 + C_2 = \frac{\rho a^2}{3\varepsilon_0} \Rightarrow C_2 = \frac{\rho a^2}{2\varepsilon_0} \quad (42)$$

### 4. Resultados Finais

**Campo Elétrico**

$$\mathbf{E}(r) = \begin{cases} \frac{\rho r}{3\varepsilon_0} \hat{r}, & r < a \\ \frac{\rho a^3}{3\varepsilon_0 r^2} \hat{r}, & r > a \end{cases} \quad (43)$$

## Potencial Elétrico

$$V(r) = \begin{cases} -\frac{\rho}{6\varepsilon_0}r^2 + \frac{\rho a^2}{2\varepsilon_0}, & r < a \\ \frac{\rho a^3}{3\varepsilon_0 r}, & r > a \end{cases} \quad (44)$$

## Problema 5

Considere um tubo retangular de dimensões  $0 \leq x \leq b$  e  $0 \leq y \leq a$ , infinito na direção  $z$ . As fronteiras em  $x = 0$ ,  $x = b$  e  $y = a$  estão mantidas a potencial nulo ( $V = 0$ ), enquanto a fronteira em  $y = 0$  está mantida a um potencial constante  $V_0$ . Determinar o potencial eletrostático  $V(x, y)$  dentro do tubo.

### Solução:

Consideramos um tubo retangular definido por  $0 \leq x \leq b$ ,  $0 \leq y \leq a$ , infinito na direção  $z$ . O potencial eletrostático  $V(x, y)$  satisfaz a equação de Laplace bidimensional:

$$\frac{\partial^2 V}{\partial x^2} + \frac{\partial^2 V}{\partial y^2} = 0 \quad (45)$$

com as seguintes condições de contorno:

$$V(x, a) = 0,$$

$$V(0, y) = 0,$$

$$V(b, y) = 0,$$

$$V(x, 0) = V_0.$$

Utilizando o método de separação de variáveis, assumimos uma solução do tipo:

$$V(x, y) = X(x)Y(y) \quad (46)$$

Substituindo na equação de Laplace e separando variáveis, obtemos:

$$X''(x) + \lambda X(x) = 0,$$

$$Y''(y) - \lambda Y(y) = 0,$$

com as soluções para  $X(x)$  que satisfazem  $X(0) = X(b) = 0$ :

$$X_n(x) = \sin\left(\frac{n\pi x}{b}\right), \quad \lambda_n = \left(\frac{n\pi}{b}\right)^2, \quad n = 1, 2, 3, \dots \quad (47)$$

A solução correspondente para  $Y(y)$ , que satisfaz  $Y(a) = 0$ , é:

$$Y_n(y) = \sinh\left(\frac{n\pi(a-y)}{b}\right) \quad (48)$$

Assim, a solução geral do potencial é:

$$V(x, y) = \sum_{n=1}^{\infty} C_n \sin\left(\frac{n\pi x}{b}\right) \sinh\left(\frac{n\pi(a-y)}{b}\right) \quad (49)$$

Impondo a condição  $V(x, 0) = V_0$ , obtemos a série de Fourier da função constante  $V_0$ :

$$V_0 = \sum_{n=1}^{\infty} C_n \sin\left(\frac{n\pi x}{b}\right) \sinh\left(\frac{n\pi a}{b}\right) \quad (50)$$

Multiplicando ambos os lados por  $\sin\left(\frac{m\pi x}{b}\right)$  e integrando de 0 a  $b$ , obtemos:

$$C_n = \frac{2}{b \sinh\left(\frac{n\pi a}{b}\right)} \int_0^b V_0 \sin\left(\frac{n\pi x}{b}\right) dx = \frac{4V_0}{n\pi \sinh\left(\frac{n\pi a}{b}\right)} \quad \text{para } n \text{ ímpar} \quad (51)$$

Portanto, a solução final para o potencial dentro do tubo é:

$$\boxed{V(x, y) = \sum_{\substack{n=1 \\ n \text{ ímpar}}}^{\infty} \frac{4V_0}{n\pi \sinh\left(\frac{n\pi a}{b}\right)} \sin\left(\frac{n\pi x}{b}\right) \sinh\left(\frac{n\pi(a-y)}{b}\right)} \quad (52)$$

## Problema 6

Em um dispositivo unidimensional, a densidade volumétrica de carga é dada por

$$\rho_v(x) = \rho_0 \frac{x}{a} \quad (53)$$

Sabendo que o campo elétrico  $E = 0$  em  $x = 0$  e o potencial  $V = 0$  em  $x = a$ , determinar as expressões para  $V(x)$  e  $\mathbf{E}(x)$ .

**Solução:**

Dada a densidade volumétrica de carga:

$$\rho_v(x) = \rho_0 \frac{x}{a} \quad (54)$$

com as condições de contorno:

- $E(0) = 0$
- $V(a) = 0$

Utilizaremos a equação de Poisson unidimensional:

$$\frac{d^2V}{dx^2} = -\frac{\rho_v(x)}{\varepsilon_0} = -\frac{\rho_0}{\varepsilon_0 a} x \quad (55)$$

Integrando a equação:

$$\frac{dV}{dx} = -\frac{\rho_0}{\varepsilon_0 a} \int x dx = -\frac{\rho_0}{2\varepsilon_0 a} x^2 + C_1 \quad (56)$$

$$E(x) = -\frac{dV}{dx} = \frac{\rho_0}{2\varepsilon_0 a} x^2 - C_1 \quad (57)$$

Usando a condição  $E(0) = 0$ , obtemos:

$$C_1 = 0 \quad \Rightarrow \quad E(x) = \frac{\rho_0}{2\varepsilon_0 a} x^2 \quad (58)$$

Agora integramos para obter  $V(x)$ :

$$V(x) = -\int E(x) dx = -\int \frac{\rho_0}{2\varepsilon_0 a} x^2 dx \quad (59)$$

$$= -\frac{\rho_0}{2\varepsilon_0 a} \cdot \frac{x^3}{3} + C_2 = -\frac{\rho_0}{6\varepsilon_0 a} x^3 + C_2 \quad (60)$$

Aplicando a condição  $V(a) = 0$ :

$$V(a) = 0 \Rightarrow 0 = -\frac{\rho_0}{6\varepsilon_0 a} a^3 + C_2 \Rightarrow C_2 = \frac{\rho_0 a^2}{6\varepsilon_0} \quad (61)$$

Portanto, a expressão para o potencial é:

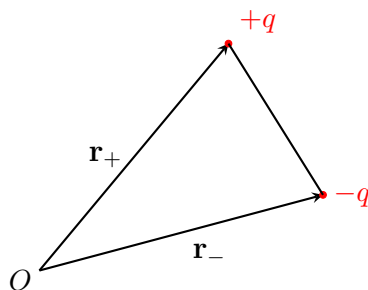
$$V(x) = \frac{\rho_0}{6\varepsilon_0 a} (a^3 - x^3) \quad (62)$$

**Resultados finais:**

$$\boxed{\begin{aligned} V(x) &= \frac{\rho_0}{6\varepsilon_0 a} (a^3 - x^3) \\ E(x) &= \frac{\rho_0}{2\varepsilon_0 a} x^2 \end{aligned}} \quad (63)$$

## Problema 7

Considere duas cargas pontuais iguais e opostas,  $+q$  e  $-q$ , localizadas nos vetores de posição  $\mathbf{r}_+$  e  $\mathbf{r}_-$ , conforme mostra a figura. Mostre que, em geral, o termo de quadrupolo é diferente de zero. Mostre que, para um dipolo “puro” na origem, o termo de quadrupolo se anula.



### Solução:

Considere um sistema formado por duas cargas pontuais, uma de carga  $+q$  e outra de carga  $-q$ , localizadas nos vetores de posição  $\mathbf{r}_+$  e  $\mathbf{r}_-$ , respectivamente. Nosso objetivo é:

- Demonstrar que, em geral, o termo de quadrupolo é diferente de zero .
- Mostrar que, para um dipolo ideal simétrico na origem, o termo de quadrupolo se anula.

Em seguida apresentaremos a análise matemática desses dois casos.

## 1. Tensor de Quadrupolo Elétrico

O tensor de quadrupolo  $Q_{ij}$  para um sistema discreto de cargas é dado por:

$$\boxed{Q_{ij} = \sum_k q_k \left( 3x_{k,i}x_{k,j} - r_k^2 \delta_{ij} \right)} \quad (64)$$

Para um sistema com duas cargas  $+q$  e  $-q$  localizadas em  $\mathbf{r}_+$  e  $\mathbf{r}_-$ , respectivamente, temos:

$$Q_{ij} = q \left( 3x_{+,i}x_{+,j} - r_+^2 \delta_{ij} \right) + (-q) \left( 3x_{-,i}x_{-,j} - r_-^2 \delta_{ij} \right) \quad (65)$$

Ou seja,

$$Q_{ij} = q \left[ 3(x_{+,i}x_{+,j} - x_{-,i}x_{-,j}) - (r_+^2 - r_-^2) \delta_{ij} \right] \quad (66)$$

Esse tensor não é nulo em geral porque:

- $x_{+,i}x_{+,j} \neq x_{-,i}x_{-,j}$  se  $\mathbf{r}_+ \neq \mathbf{r}_-$ ,
- $r_+^2 \neq r_-^2$  se as posições  $\mathbf{r}_+$  e  $\mathbf{r}_-$  forem diferentes em módulo.

Portanto, concluímos que, em geral, o termo de quadrupolo é diferente de zero.

## 2. Caso Especial: Dipolo Ideal na Origem

Agora, vamos analisar o caso de um dipolo ideal simétrico, com as cargas localizadas na origem e separadas por uma distância  $\mathbf{d}$ . As posições das cargas são:

$$\mathbf{r}_+ = \frac{\mathbf{d}}{2}, \quad \mathbf{r}_- = -\frac{\mathbf{d}}{2} \quad (67)$$

Substituindo essas posições na expressão do tensor de quadrupolo:

$$Q_{ij} = q \left[ 3 \left( \frac{d_i}{2} \frac{d_j}{2} - \left( -\frac{d_i}{2} \right) \left( -\frac{d_j}{2} \right) \right) - \left( \left( \frac{|\mathbf{d}|^2}{4} \right) - \left( \frac{|\mathbf{d}|^2}{4} \right) \right) \delta_{ij} \right] \quad (68)$$

$$Q_{ij} = q \left[ 3 \left( \frac{d_i d_j}{4} - \frac{d_i d_j}{4} \right) - 0 \delta_{ij} \right] = 0 \quad (69)$$

Logo, o momento de quadrupolo se anula para um dipolo ideal simétrico centrado na origem.

## Conclusão

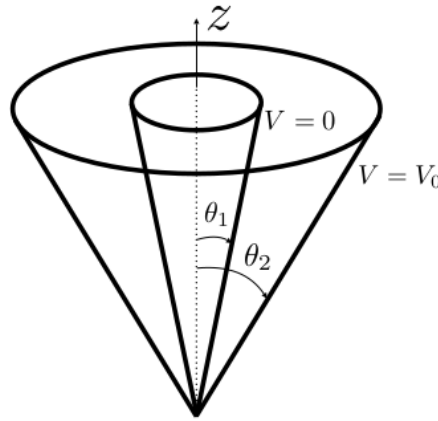
Em resumo:

- Para cargas localizadas em posições arbitrárias  $\mathbf{r}_+$  e  $\mathbf{r}_-$ , o momento de quadrupolo  $Q_{ij}$  não é nulo.

- Para um dipolo ideal simétrico centrado na origem, o momento de quadrupolo  $Q_{ij}$  se anula.

## Problema 8

Dois cones condutores infinitos formam um sistema coaxial, separados por um isolante infinitesimal em  $r = 0$ . Um cone está na direção  $\theta = \theta_1$  e o outro em  $\theta = \theta_2$ , com  $\theta_1 < \theta_2$ . Os cones são mantidos a potenciais constantes:  $V = 0$  para  $\theta = \theta_1$  e  $V = V_0$  para  $\theta = \theta_2$ . Encontrar o potencial  $V(\theta)$  e o campo elétrico  $\mathbf{E}(\theta)$  entre os cones.



### Solução:

#### 1. Equação de Laplace

Em coordenadas esféricas, supondo simetria axial e sem dependência radial (isto é,  $V = V(\theta)$ ), a equação de Laplace se reduz a:

$$\frac{1}{\sin \theta} \frac{d}{d\theta} \left( \sin \theta \frac{dV}{d\theta} \right) = 0 \quad (70)$$

#### 2. Solução Geral

Integrando a equação acima:

$$\begin{aligned} \frac{d}{d\theta} \left( \sin \theta \frac{dV}{d\theta} \right) = 0 &\Rightarrow \sin \theta \frac{dV}{d\theta} = C_1 \Rightarrow \frac{dV}{d\theta} = \frac{C_1}{\sin \theta} \\ V(\theta) &= C_1 \int \frac{1}{\sin \theta} d\theta + C_2 = C_1 \ln \left( \tan \frac{\theta}{2} \right) + C_2 \end{aligned}$$



### 3. Condições de Contorno

Aplicando as condições de contorno:

$$\begin{aligned}
 V(\theta_1) = 0 &\Rightarrow 0 = C_1 \ln \left( \tan \frac{\theta_1}{2} \right) + C_2 \Rightarrow C_2 = -C_1 \ln \left( \tan \frac{\theta_1}{2} \right) \\
 V(\theta_2) = V_0 &\Rightarrow V_0 = C_1 \left[ \ln \left( \tan \frac{\theta_2}{2} \right) - \ln \left( \tan \frac{\theta_1}{2} \right) \right] \\
 &\Rightarrow C_1 = \frac{V_0}{\ln \left( \frac{\tan(\theta_2/2)}{\tan(\theta_1/2)} \right)}
 \end{aligned}$$

### 4. Potencial Elétrico

Substituindo os coeficientes, obtemos o potencial elétrico:

$$\boxed{V(\theta) = V_0 \cdot \frac{\ln \left( \frac{\tan(\theta/2)}{\tan(\theta_1/2)} \right)}{\ln \left( \frac{\tan(\theta_2/2)}{\tan(\theta_1/2)} \right)}} \quad (71)$$

### 5. Campo Elétrico

O campo elétrico é dado por:

$$\mathbf{E} = -\nabla V = -\frac{1}{r} \frac{dV}{d\theta} \hat{\boldsymbol{\theta}} \quad (72)$$

Calculando a derivada:

$$\begin{aligned}
 \frac{dV}{d\theta} &= V_0 \cdot \frac{1}{\ln \left( \frac{\tan(\theta_2/2)}{\tan(\theta_1/2)} \right)} \cdot \frac{d}{d\theta} \left[ \ln \left( \tan \frac{\theta}{2} \right) \right] \\
 &= V_0 \cdot \frac{1}{\ln \left( \frac{\tan(\theta_2/2)}{\tan(\theta_1/2)} \right)} \cdot \frac{1}{\sin \theta}
 \end{aligned}$$

Portanto:

$$\mathbf{E}(\theta) = -\frac{V_0}{r \ln \left( \frac{\tan(\theta_2/2)}{\tan(\theta_1/2)} \right)} \cdot \frac{1}{\sin \theta} \hat{\boldsymbol{\theta}} \quad (73)$$

## Problema 9

Duas placas condutoras planas e infinitas são paralelas ao plano  $xy$ . Uma está localizada em  $z = 0$  e mantida a potencial constante  $V_0$ . A outra, mantida a potencial constante  $V_d$ , está em  $z = d$ . A região entre elas contém uma densidade volumétrica de carga dada por:

$$\rho(z) = \rho_0 \left( \frac{z}{d} \right)^2 \quad (74)$$

Resolver a equação de Poisson para obter o potencial  $V(z)$  no intervalo  $0 \leq z \leq d$ , e determinar a densidade superficial de carga em cada uma das placas.

**Solução:**

### 1. Equação de Poisson

Em uma região com simetria unidimensional no eixo  $z$ , a equação de Poisson é:

$$\frac{d^2 V}{dz^2} = -\frac{\rho(z)}{\varepsilon_0} \quad (75)$$

Com a densidade dada por:

$$\rho(z) = \rho_0 \left( \frac{z}{d} \right)^2 \quad (76)$$

Temos:

$$\frac{d^2 V}{dz^2} = -\frac{\rho_0}{\varepsilon_0} \left( \frac{z}{d} \right)^2 \quad (77)$$

### 2. Integração da Equação

Integrando uma vez:

$$\frac{dV}{dz} = -\frac{\rho_0}{\varepsilon_0 d^2} \int z^2 dz = -\frac{\rho_0}{\varepsilon_0 d^2} \cdot \frac{z^3}{3} + C_1 \quad (78)$$

Integrando novamente:

$$V(z) = -\frac{\rho_0}{\varepsilon_0 d^2} \cdot \frac{z^4}{12} + C_1 z + C_2 \quad (79)$$

### 3. Condições de Contorno

As condições de contorno são:

$$V(0) = V_0 \quad \Rightarrow \quad C_2 = V_0 \quad (80)$$

$$V(d) = V_d \quad \Rightarrow \quad V_d = -\frac{\rho_0}{\varepsilon_0 d^2} \cdot \frac{d^4}{12} + C_1 d + V_0 \Rightarrow C_1 = \frac{V_d - V_0}{d} + \frac{\rho_0 d^2}{12\varepsilon_0} \quad (81)$$

### 4. Solução Final para o Potencial

$$\boxed{V(z) = -\frac{\rho_0 z^4}{12\varepsilon_0 d^2} + \left( \frac{V_d - V_0}{d} + \frac{\rho_0 d^2}{12\varepsilon_0} \right) z + V_0} \quad (82)$$

### 5. Campo Elétrico

$$\mathbf{E}(z) = -\frac{dV}{dz} \hat{\mathbf{z}} = \left( \frac{\rho_0 z^3}{3\varepsilon_0 d^2} - C_1 \right) \hat{\mathbf{z}} \quad (83)$$

### 6. Densidade Superficial de Carga nas Placas

Usamos:

$$\sigma = \varepsilon_0 E \quad \text{na interface com o condutor} \quad (84)$$

- Para  $z = 0$ :

$$E(0) = -(-C_1) = C_1 \quad \Rightarrow \quad \boxed{\sigma_0 = \varepsilon_0 C_1} \quad (85)$$

- Para  $z = d$ :

$$E(d) = \frac{\rho_0 d}{3\varepsilon_0} - C_1 \quad \Rightarrow \quad \boxed{\sigma_d = -\varepsilon_0 E(d) = \varepsilon_0 \left( C_1 - \frac{\rho_0 d}{3\varepsilon_0} \right)} \quad (86)$$